

I-91 斜吊材吊橋の(線型)挠度理論による解法

東大 正 伊藤 学
東大大学院 学 ○川口昌宏

1 緒言

斜吊材吊橋のアイデアは古くからあったが、セパン橋でこれが実現されることになってから、吊橋の剛性に与える斜吊材の効果が再び注目されるようになつた。解析にあたっては、これまで吊橋をトラス状の骨組として取扱うことが行われてきた。しかし、この方法の欠点は、吊材数が多くなつたり、立体的現象や振動現象を解析したりする場合は、計算機の能力を相当必要とするところにある。

このような新しい構造の研究に着手するにあたっては、局部的な応力分布はある程度つかめればよいのであって、まず全体的な性質がわかることが望ましい。そのためには、骨組解析という、どうやらかといふと応力を求めるための解析より、関数方程式の利用による連続的な解析が適していると考えられる。関数方程式の境界値問題を近似的に解く方法はよく知られており、片側の境界から計算していくことによる誤差の累積を避けることができる。すなわち物理的および力学的境界条件を、できるだけ満すような関数によて解を展開する方法は、よく行われる有力な方法である。

本論文では、以上の観点から、時変係数微分方程式の挠度理論式を、級数展開されたグリーン関数によって解くことにした。

2 斜吊材吊橋の基礎微分方程式

通常の吊橋の計算にあたっての仮定をこゝでもとつ。また、簡単な系を取扱うこととする。

- ・単径間で EI は一定である。
- ・塔の変形、桁のセント断面形無視。
- ・吊材のケーブル取付点は一定距離で、支間にビヒ審に分布し、これにより荷重は橋軸方向に等分布する。
- ・吊材は圧縮引張に対し完全に剛く。

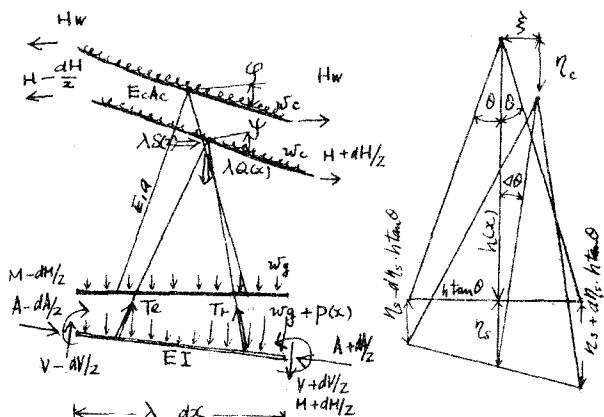


図 1

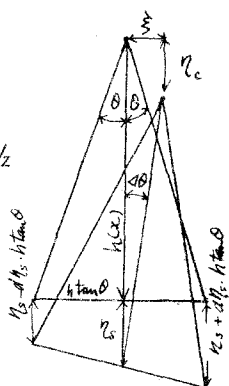


図 2

桁の垂直方向の釣合から

$$w_g + p(x) - Q(x) = -\frac{dV}{dx} + \frac{d}{dx}(A \frac{dw_c}{dx}) \quad \dots (1)$$

ケーブルの垂直方向の釣合から

$$w_c + Q(x) = -\frac{d(H \tan \theta)}{dx} \quad \dots (2)$$

ケーブル方程式は

$$\frac{d^2z}{dx^2} = \frac{H}{E_c A_c} \sin^2 \theta \cos^2 \theta - \frac{Hw \sin^3 \theta}{E A_c} + \varepsilon t \sin^2 \theta - g' z' - \frac{1}{2} z''^2 \quad \dots (5)$$

こゝに $z(x)$, $Q(x)$ は、吊材張力の水平および垂直の合力である。

$$Q(x) = \frac{1}{X} (T_r \cos(\theta - \alpha) + T_e \cos(\theta + \alpha)) = w_g + \frac{Z E A}{X} \left(\frac{\eta_s - \eta_c}{E} \cos^2 \theta - \varepsilon t \right) \cos \theta \quad \dots (6)$$

$$N(x) = \frac{Z E A}{X} \sin^2 \theta \cos \theta \frac{d w_c}{dx} - \left(\frac{Z E A}{X} \sin^2 \theta \cos \theta + w_g \right) \frac{d}{dx} \quad \dots (7)$$

桁の水平方向の釣合から

$$\frac{dA}{dx} + \frac{d}{dx}(V \frac{dw_c}{dx}) = -S(x) \quad \dots (3)$$

ケーブルの水平方向の釣合から

$$\frac{dH}{dx} = -S(x) \quad \dots (4)$$

ここで次の仮定をする。

(A) 柱に加わる吊材からの軸力は小さく、また柱の傾み角は小さい。したがって柱のせん断力と軸力を分離できる。この仮定は、吊材と柱の断面比より十分正しいと考えられる。これより、(1), (3) 式の \sim 線部分を無視する。

(B) 吊材の伸びを柱の傾みに対し無視する。直吊材では、この影響は一応明瞭かであるが、斜吊材では、検討の必要がある。 $\varepsilon_s = \varepsilon_c = \varepsilon$

(C) 微小型に関する仮定。 $\tan \theta \approx \theta + \eta'$, $\sec \theta = \sec \eta$, $\eta'^2 = 0$

以上の仮定から

$$EI\eta'' - H\eta'' + (y' \sin^2 \theta \cos \theta \cdot \frac{2E_1 a}{\lambda}) \eta' = P(x) + H_p(x) y'' + y' (w_f + \frac{2E_1 a \sin^2 \theta \cos \theta}{\lambda}) \frac{3}{\lambda} \quad (8)$$

$$\frac{d^3}{dx^3} = H_p \frac{\sec^3 \theta}{E_1 A_c} + \varepsilon t \sec^2 \theta - y'' \quad \dots (9)$$

ここで (8) 式の右辺第3項は $(9 \sim 3) w_f \frac{3}{\lambda}$ の大きさであり

(D) $\frac{3}{\lambda}$ は十分小さいと仮定すれば、第2項に比し第3項が無視し得る。

以上より斜吊材吊橋の挠度理論式として

$$EI\eta'' - H\eta'' + (y' \sin^2 \theta \cos \theta \cdot \frac{2E_1 a}{\lambda}) \eta' = P(x) + H_p(x) y'' \quad \dots (10)$$

$$H_p(x) = H_0 - [z, H_p(x) - zH_p(x)] \quad \dots (11)$$

$$H_0 = \frac{\frac{8\pi^2}{l^2} \int_0^L \eta dx - \varepsilon t \int_0^L \sec^2 \theta dx}{\frac{1}{E_1 A_c} \int_0^L \sec^3 \theta dx} + \frac{\int_0^L \frac{\sec^2 \theta}{E_1 A_c} \left(\int_0^x \frac{2E_1 a}{\lambda} y' \sin^2 \theta \cos \theta dx \right) dx}{\frac{1}{E_1 A_c} \int_0^L \sec^3 \theta dx} \quad \dots (12)$$

$$H_p(x) = \int_0^x \frac{2E_1 a}{\lambda} y' \sin^2 \theta \cos \theta dx \quad \dots (13) \quad zH_p(x) = \int_0^x \frac{3(x)}{R} (w_f + \frac{2E_1 a}{\lambda} \sin^2 \theta \cos \theta) dx \quad \dots (14)$$

$$\xi(x) = \frac{1}{E_1 A_c} \int_0^x \sec^3 \theta dx + \varepsilon t \int_0^x \sec^2 \theta dx - y'' + y' \int_0^x \eta dx - \left[\int_0^x \frac{\sec^3 \theta}{E_1 A_c} (H_p(x) - zH_p(x)) dx \right] \quad \dots (15)$$

H_0 の第一項は直吊材の場合の活荷重張力である。上式中の \square 内の項は小さいことか予想できる。

(10) 式は直吊材の方程式の左辺に、斜吊の影響として第3項が加わったものである。この式により、張力を受けた回転角に比例する反力を生ずるハニ床の梁に、斜吊材吊橋は置換できることが考えられる。図3.

3 方程式の解

第3項の係数は図4に示す性質がありこれは次のように展開できる。

$$2E_1 a / \lambda \cdot y' \sin^2 \theta \cos \theta = 2E_1 a / \lambda \cdot \frac{4f}{l} \sum_i b_i \sin \frac{i\pi x}{l}$$

(10) 式を両端単純支持で解くとすれば、7.1-1関数を正弦関数で展開できる。

$$G(x, \xi) = \sum A_{ij} \sin \frac{j\pi x}{l} + E_1 G'' - H G'' + g \cdot \sum b_i \sin \frac{i\pi x}{l} \quad G' = S(x - \xi)$$

ここで入して、 A_{ij} に対する一次連立方程式を得る。対角成分は $\{ (i\pi)^4 + (i\pi)(j\pi) \} + i\pi \mu b_i$

$$\mu = 4 \cdot \frac{4E_1 f^2}{EI} \cdot \frac{f}{l} \cdot \frac{l}{\lambda} \quad \text{腹材と柱との剛性関係を示し、}\mu\text{が大きいと第3項の斜角の}$$

影響が大きくなる。半項、第3項では第3項の方が大きいことが多くて、斜吊による剛性は直吊橋の2倍以上にもなる。 $[A_{ij}]$ の逆行列と $[A_{ij}]$ とすれば $G = \frac{2\ell^3}{4EI} \sum_j (\sum_i A_{ij} \sin \frac{i\pi x}{l}) \sin \frac{j\pi x}{l}$ であり

集中荷重 P と ξ に加えたときは

$$\eta = \frac{2\ell^3}{4EI} P \sum_i F_2^i \sin \frac{i\pi x}{l} \quad F_2^i = \sum_j A_{ij} (\sin \frac{j\pi \xi}{l} - \frac{8f}{\ell^2} \int_0^L H_p(\xi) \sin \frac{j\pi x}{l} d\xi)$$

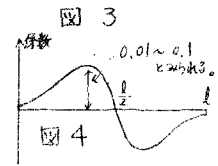


図 3

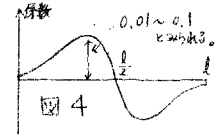


図 4

主な計算は高々 15 項の級数の係数を決める代数方程式となり、非常に難しくある。 $H = H_w$ とすれば、いわゆる線型挠度理論となり、1 テラオランの回数が減る。現在プログラムと共に仮定(D)につき検討中であり、伊藤・木村隼、黄宗惠、佐野信一郎氏等に行なっての模型実験結果も含めて当日紹介できればと考えている。